

بِسْمِ اللّٰهِ الرَّحْمٰنِ الرَّحِيْمِ



دانشگاه اصفهان

دانشکده علوم

گروه شیمی

پایان نامه کارشناسی ارشد رشته‌ی شیمی گرایش شیمی فیزیک

مطالعه جریان نفوذی مولکول‌های آب در یک نانوچنبره نوع زیگزاگ با استفاده از شبیه‌سازی دینامیک مولکولی

استاد راهنما:

دکتر حسن سبزیان

پژوهشگر:

سمیرا غلامی

شهریورماه ۱۳۸۹

کلیه حقوق مادی مترتب بر نتایج مطالعات، ابتكارات
و نوآوری‌های ناشی از تحقیق موضوع این پایان‌نامه
متعلق به دانشگاه اصفهان است.



دانشگاه اصفهان

دانشکده علوم

گروه شیمی

پایان نامه کارشناسی ارشد رشته‌ی شیمی گرایش شیمی فیزیک
خانم سمیرا غلامی

تحت عنوان

مطالعه جریان نفوذی مولکول‌های آب در یک نانوچنبره نوع زیگزاگ
با استفاده از شبیه‌سازی دینامیک مولکولی

در تاریخ ۸۹/۶/۳۰ توسط هیأت داوران بررسی و با درجه عالی به تصویب نهایی رسید.

امضا
امضا
امضا
امضا
امضا

۱- استاد راهنمای پایان نامه دکتر حسن سبزیان با مرتبه‌ی علمی دانشیار

۲- استاد داور داخل گروه دکتر مجید موسوی با مرتبه‌ی علمی استادیار

۳- استاد داور خارج گروه دکتر زهرا توانگر با مرتبه‌ی علمی استادیار

امضای مدیر گروه دکتر ایرج محمدپور بلترک با مرتبه‌ی علمی استاد

تَعْدِيْمُ بَهْ

مَدْرَسَةِ عَزْبَرْمَ
پ

چکیده

مطالعات آزمایشگاهی نشان می‌دهد که نanolوله‌های کربنی می‌توانند با حمل مواد مختلف از درون غشاها سلولی به عنوان ناقلان مولکولی عمل کنند. این کاربردها مربوط به توانایی nanololle در انتقال یک سیال و بخصوص محلول‌های آبی در مقیاس نانو می‌باشد. به همین دلیل، مطالعه سامانه‌های آب–nanololle در علوم و فناوری نانو همواره از اهمیت زیادی برخوردار بوده است. در نانوچنبره‌ها، علاوه بر احتمال موجود در nanololle، یک احتمال دیگر نیز وجود دارد که مربوط به نحوه پیچش nanololle برای تشکیل چنبره است. بنابراین، به نظر می‌رسد، رفتار جریان Mولکولی در نانوچنبره‌ها با رفتار جریان Mولکولی در nanololleها متفاوت باشد.

هدف این پژوهش مطالعه دینامیک جریان نفوذی Mولکول‌های آب، در نانوچنبره‌های حاصل از nanololle کربنی زیگزاگ با شعاع‌های معین می‌باشد. در اولین بخش، هندسه انواع مختلف نانوچنبره‌های کربنی با استفاده از تبدیلات ریاضی بررسی مختصات اتم‌های nanololle مادر تولید شد. به این منظور، از یک ضریب فشرده‌گی – کشیدگی استفاده می‌شود تا هنگام تبدیل nanololle به نانوچنبره، بخش‌های درونی و بیرونی دو سر nanololle کاملاً بر هم منطبق شوند. سپس در مرحله بعدی، با استفاده از روش دینامیک Mولکولی آسوده، هندسه حاصل به صورت جزئی بهینه می‌گردد. براساس معیار سقف ضریب کشیدگی برای نانوچنبره‌های نوع زیگزاگ و با در نظر گرفتن برهمکنش‌های غیریونی بین Mولکول‌های آب و اتم‌های کربن در نانوچنبره، نانوچنبره‌های (۱۳° و ۱۴°) و (۱۵° و ۱۶°) برای مطالعه جریان نفوذی Mولکول‌های آب انتخاب شدند. در مرحله بعدی، تعدادی Mولکول آب در ناحیه محدودی از نانوچنبره‌ها توزیع شد و با استفاده از میدان نیروی ترساف، محاسبات MD برای شبیه‌سازی جریان نفوذی Mولکول‌های آب درون نانوچنبره‌ها انجام شد.

نتایج حاصل از شبیه‌سازی Mولکول‌های آب در نانوچنبره (۱۵°) در مدت زمان ۲۰۰ ps نشان می‌دهد Mولکول‌های آب تمایل به برقراری پیوندهای هیدروژنی داشته و تمامی فضای فاز بخار را می‌پیمایند. همچنین، با افزایش دما و به دنبال آن افزایش انرژی جنبشی میزان افت و خیز در توزیع زاویه بردار گشتاور دوقطبی Mولکول آب نسبت به بردار شعاعی نانوچنبره در محل اکسیژن آن Mولکول، افزایش می‌یابد. با افزایش زمان شبیه‌سازی به ۲ ns و انجام محاسبات شبیه‌سازی بررسی نانوچنبره‌های (۱۳° و ۱۴°) و (۱۵° و ۱۶°)، با نزدیک شدن سامانه به نقطه تعادلی، میزان افت و خیز در MSD کاهش می‌یابد و در زمان‌های طولانی پس از تعادل رسانی، به کمترین میزان خود می‌رسد. ضریب نفوذ اتم‌های اکسیژن با استفاده از کمیت MSD در این نانوچنبره‌ها محاسبه شد. مقدار این کمیت در راستای محورهای x و y از مرتبه $10^{-8} \text{ cm}^2/\text{s}$ و در راستای محور Z و بردار موقعیت \vec{r} ، از مرتبه 10^{-11} می‌باشد.

کلمات کلیدی: nanololle کربنی، نانوچنبره کربنی، جریان نفوذی، جهت‌گیری Mولکولی، شبیه‌سازی دینامیک Mولکولی، متوسط مربع جابجایی‌ها

فهرست مطالب

صفحه	عنوان
	فصل اول: مقدمه و مبانی نظری
۲	۱-۱- نانولوله‌های کربنی
۴	۱-۲- روش‌های ساخت آزمایشگاهی نانولوله‌های کربن
۵	۱-۲-۱- تولید نانولوله‌های کربنی به روش تخلیه قوس الکتریکی
۶	۱-۲-۲- تولید نانولوله‌های کربنی به روش تابش لیزر
۶	۱-۲-۳- تولید نانولوله‌های کربنی به روش نشست بخار شیمیایی
۷	۱-۳- روش‌های مطالعه ساختار نانولوله‌های کربنی
۸	۱-۳-۱- طیف‌سنجی رامان نانولوله‌های کربنی
۱۱	۱-۴- نانوچنبره‌های کربنی
۱۵	۱-۵- شیمی محاسباتی و مکانیک مولکولی
۱۷	۱-۶- شبیه‌سازی‌های رایانه‌ای
۱۸	۱-۶-۱- شبیه‌سازی مونت‌کارلو (MC)
۱۹	۱-۶-۲- شبیه‌سازی دینامیک مولکولی (MD)
۲۰	۱-۷- انتگرال گیری از معادلات حرکت
۲۱	۱-۷-۱- الگوریتم ورله
۲۲	۱-۷-۲- الگوریتم پرش
۲۳	۱-۸- فنون مورد استفاده در شبیه‌سازی
۲۳	۱-۸-۱- شرایط مرزی دوره‌ای
۲۴	۱-۸-۲- قطع پتانسیل و قرارداد حداقل تصویر
۲۵	۱-۸-۳- الگوریتم ورله و فهرست همسایگان مجاور
۲۶	۱-۸-۴- مشکلات مربوط به قطع پتانسیل و برطرف کردن آنها
۲۶	الف- پتانسیل جاچاشهده
۲۷	ب- پتانسیل جاچاشهده با جمله خطی
۲۸	ج- تابع کلید

صفحه	عنوان
۲۹	۱-۵- برهمکنش‌های دوربرد
۲۹	۱-۶- دینامیک مولکولی در دما و فشار ثابت
۲۹	۱-۷- دینامیک مولکولی در دمای ثابت
۳۱	۱-۸- دینامیک مولکولی در فشار ثابت
۳۲	۱-۹- محاسبه برخی خواص ترمودینامیکی
۳۲	۱-۱۰- انرژی
۳۳	۱-۱۱- ظرفیت گرمایی
۳۳	۱-۱۲- متوسط مربع جابجایی‌ها
۳۴	۱-۱۳- دما
۳۴	۱-۱۴-تابع توزیع شعاعی
۳۶	۱-۱۵- نرمافزارهای محاسباتی در شبیه‌سازی دینامیک مولکولی
۳۷	۱-۱۶- اهداف تحقیق حاضر

فصل دوم: ساخت هندسه نانوچنبره کربنی و آماده‌سازی پرونده‌های ورودی

۴۳	۲-۱- تولید مختصات نانوچنبره کربنی
۴۳	۲-۱-۱- تولید مختصات صفحه گرافیت
۴۵	۲-۱-۲- انتخاب قطعه مناسبی از صفحه گرافیت برای تولید نanolوله
۴۷	۲-۱-۳- تولید مختصات نanolوله
۴۹	۲-۱-۴- تبدیل نanolوله کربنی به نانوچنبره کربنی
۵۳	۲-۲- آماده‌سازی پرونده‌های ورودی برای انجام محاسبات شبیه‌سازی
۵۴	۲-۲-۱- پرونده ورودی هندسه
۵۶	۲-۲-۲- پرونده ورودی کنترل
۵۷	۲-۲-۳- پرونده ورودی نیرو
۶۲	۲-۳- بهینه‌سازی هندسه نانوچنبره کربنی به روش دینامیک مولکولی آسوده
۶۵	۲-۴- آماده‌سازی پرونده‌های ورودی نانوچنبره حاوی مولکول‌های آب

فصل سوم: شبیه‌سازی جریان نفوذی مولکول‌های آب در نانوچنبره

عنوان	
صفحه	
٦٨	۱-۳- جزئیات محاسبات
٧٠	۱-۱- شبهه‌سازی دینامیک مولکولی جریان نفوذی مولکول‌های آب درون نانوچنبره‌های کربنی
٨٠	۲-۳- نتیجه‌گیری
پیوست‌ها	
٨٢	پیوست (پ-۱): برنامه فرترن برای تولید مختصات نانوچنبره کربنی
٨٧	پیوست (پ-۲): قسمتی از پرونده هندسه برای نانوچنبره (۰ و ۱۱)
٨٨	پیوست (پ-۳): پرونده ورودی کنترل برای شبهه‌سازی نانوچنبره کربنی (۱۱۰ و ۱۱)
٨٩	پیوست (پ-۴): پرونده ورودی نیرو برای نانوچنبره (۰ و ۱۱)
٩٠	پیوست (پ-۵): برنامه فرترن برای تعیین شماره اتم‌های کربن پیوندی با یک اتم کربن مشخص
٩٢	پیوست (پ-۶): برنامه فرترن برای محاسبه انحنای اتم‌های کربن در نانولوله و نانوچنبره
٩٣	پیوست (پ-۷): برنامه فرترن برای محاسبه طول پیوندهای کربن-کربن در نانوچنبره پس از انجام دینامیک مولکولی آسوده
٩٤	پیوست (پ-۸): برنامه فرترن برای رسم نمودار توزیع طول‌های پیوندی در نانوچنبره بعد از انجام دینامیک مولکولی آسوده
٩٥	پیوست (پ-۹): برنامه فرترن برای تولید هندسه آغازین مولکول‌های آب
٩٦	پیوست (پ-۱۰): برنام فرترن برای محاسبه فاصله میان اتم‌های اکسیژن و هیدروژن با اتم‌های کربن نانوچنبره
٩٧	پیوست (پ-۱۱): برنامه فرترن برای کنترل فاصله میان اتم‌های اکسیژن و هیدروژن با اتم‌های کربن نانوچنبره
٩٨	پیوست (پ-۱۲): پرونده ورودی کنترل برای مولکول‌های آب در نانوچنبره (۰ و ۱۵)
٩٩	پیوست (پ-۱۳): پرونده ورودی میدان نیرو برای آب در نانوچنبره (۰ و ۱۵)
۱۰۰	پیوست (پ-۱۴): برنامه فرترن برای یافتن شماره اتم‌های موجود بر روی دایره درونی در نانوچنبره
۱۰۱	پیوست (پ-۱۵): قسمتی از پرونده ورودی میدان نیرو برای نانوچنبره افسارشده (۰ و ۱۵)
۱۰۲	پیوست (پ-۱۶): برنامه فرترن برای محاسبه متوسط مربع جابجایی‌ها برای اتم‌های کربن در نانوچنبره

عنوان

صفحه

پیوست (پ-۱۷): برنامه فرترن برای محاسبه زاویه بین بردار گشتاور دوقطبی مولکول آب و بردار شعاعی نانوچنبره ۱۰۴
پیوست (پ-۱۸): برنامه فرترن برای محاسبه متوسط مربع جابجایی‌ها برای اتم‌های اکسیژن ۱۰۶
پیوست (پ-۱۹): برنامه فرترن برای بی‌حرکت کردن لایه درونی نانوچنبره کربنی ۱۰۸
پیوست (پ-۲۰): بخشی از پرونده ورودی هندسه نانوچنبره حاوی مولکول‌های آب ۱۰۹
پیوست (پ-۲۱): پرونده ورودی نیرو برای شبیه‌سازی نانوچنبره با لایه درونی بی‌حرکت نگهداشته شده حاوی مولکول‌های آب ۱۱۰
پیوست (پ-۲۲): برنامه فرترن برای محاسبه MSD چند مرجعی برای اتم‌های اکسیژن ۱۱۲
منابع و مأخذ: ۱۱۴

فهرست شکل‌ها

صفحه	عنوان
۳	شکل ۱-۱- صفحه گرافیتی تانشده که برای ساخت نanolوله مورد استفاده قرار می‌گیرد
۳	شکل ۱-۲- طبقه‌بندی Nanololle‌های کربنی تک‌دیواره: (از بالا به پایین) کایرال، صندلی، زیگزاگ
۵	شکل ۱-۳- طرحی از روش تخلیه قوس الکتریکی برای تولید Nanololle‌های کربنی
۶	شکل ۱-۴- طرحی از روش تابش لیزر برای تولید Nanololle‌های کربنی
۷	شکل ۱-۵- طرحی از روش نشست بخار شیمیایی برای تولید Nanololle‌های کربنی
۹	شکل ۱-۶- طیف رامان Nanololle منزوی نشانده‌شده بر روی سطح Si/SiO_2 (راست) و طیف رامان دسته‌ای از Nanololle‌های تک‌دیواره دسته‌ای (چپ)
۱۱	شکل ۱-۷- نوارهای G و RBM در طیف رامان چند نوع Nanololle کربنی تک‌دیواره
۱۱	شکل ۱-۸- وابستگی بسامد نوار G به قطر و خاصیت فلزی Nanololle
۱۳	شکل ۱-۹- نانوچنبره‌های $C_{۱۲}$ ، $C_{۲۶}$ و $C_{۴۸}$
۱۳	شکل ۱-۱۰- انرژی اتصال بر واحد اتم کربن نسبت به تعداد اتمهای کربن در یک نانوچنبره نوع اول
۱۵	شکل ۱-۱۱- نمونه‌ای از نانوچنبره‌های نوع سوم (راست) و نوع چهارم (چپ)
۲۴	شکل ۱-۱۲- نمایی از سلول شبیه‌سازی و اعمال شرایط مرزی دوره‌ای در دو بعد بر روی یک سلول کوچک
۲۴	شکل ۱-۱۳- انواع سلول واحد مورد استفاده در شبیه‌سازی
۲۶	شکل ۱-۱۴- فهرست ورله با گذر زمان از راست به چپ
۲۷	شکل ۱-۱۵- پتانسیل لنارد- جونز جابجا شده
۲۸	شکل ۱-۱۶- نمونه‌ای از تأثیر تابع کلید در محدوده شعاع قطع و اثر آن بر روی پتانسیل لنارد- جونز
۳۵	شکل ۱-۱۷- تابع توزیع شعاعی مایع آرگون
۴۳	شکل ۱-۲- سلول واحد صفحه گرافیت که در این پژوهش در نظر گرفته شده است
۴۸	شکل ۲-۲- سطح مقطع دایروی Nanololle
۴۹	شکل ۲-۳- نمودار همبستگی شعاع تجربی حاصل از مطالعات تصویربرداری الکترونی عبوری (TEM) و شعاع محاسبه شده در این پژوهش برای Nanololle‌های مختلف گزارش شده در جدول (۱-۲)
۵۰	شکل ۲-۴- تصویر مسطح کمربند داخلی نانوچنبره

عنوان

صفحه

٥١	شکل ٢-٥- نمایش برش‌های موازی نanolوله کربنی در امتداد محور y
٥١	شکل ٢-٦- نمایش برش‌های دایروی نانوچنبره حاصل از پیچش Nanololle
٥٣	شکل ٢-٧- نمونه‌ای از نانوچنبره‌های تولید شده در این پژوهش (نانوچنبره نوع (٤٠ و ٤٠)) که در قالب پنجره نرم افزار هایپرکم نمایش داده شده است
٥٥	شکل ٢-٨- بزرگترین ضریب کشیدگی (C_{out}) و کوچکترین ضریب فشردگی (C_{in}) لازم برای تبدیل یک Nanololle نوع (١١ و ١١) به نانوچنبره مربوطه، به عنوان تابعی از طول Nanololle مادر در نانوچنبره (١١ و ١١). برای مقایسه، خطوط مربوط به سقف ضریب کشیدگی قابل قبول و کف ضریب فشردگی قابل قبول نیز نمایش داده شده است
٥٦	شکل ٢-٩- بزرگترین ضریب کشیدگی (C_{out}) لازم برای تبدیل Nanololle‌های نوع (m و ٢٠) نانوچنبره مربوطه، به عنوان تابعی از طول Nanololle مادر
٦٠	شکل ٢-١٠- نمایش اینجا به دلیل لوله‌شدن صفحه گرافیت هنگام تولید Nanololle
٦١	شکل ٢-١١- توزیع شاخص اینجا اتم‌های کربن پس از شبیه‌سازی در Nanololle و نانوچنبره‌های (١١ و ١١)، (١٣ و ١٣)، (١٤ و ١٤) و (١٥ و ١٥) در مدت زمان ٢ پیکوثانیه بدون افسار کردن لایه‌های درونی نانوچنبره‌ها
٦٣	شکل ٢-١٢- توزیع طول پیوند کربن-کربن در هندسه آغازین و همچنین پس از انجام دینامیک مولکولی آسوده با تعداد گام‌های زمانی مختلف در نانوچنبره (١١ و ١١)
٦٤	شکل ٢-١٣- توزیع طول پیوند کربن-کربن در هندسه آغازین و همچنین پس از انجام دینامیک مولکولی آسوده با تعداد گام‌های زمانی مختلف در نانوچنبره (١٠ و ١٠)
٦٤	شکل ٢-١٤- توزیع طول پیوند کربن-کربن در هندسه آغازین و همچنین پس از انجام دینامیک مولکولی آسوده با تعداد گام‌های زمانی مختلف در نانوچنبره (١٤ و ١٤)
٦٥	شکل ٢-١٥- توزیع طول پیوند کربن-کربن در هندسه آغازین و همچنین پس از انجام دینامیک مولکولی آسوده با تعداد گام‌های زمانی مختلف در نانوچنبره (١٥ و ١٥)
٦٩	شکل ٣-١- MSD در امتداد محورهای مختصات برای اتم‌های کربن در نانوچنبره (١٥ و ١٥) که اتم‌های موجود بر روی دایره درونی آن افسار شده‌اند
٧٠	شکل ٣-٢- توزیع طول پیوند کربن-کربن پس از انجام شبیه‌سازی MD در مدت زمان ٢٠٠ پیکوثانیه، در هندسه نهایی نانوچنبره (١٥ و ١٥) که اتم‌های موجود بر روی دایره درونی آن افسار شده‌اند

عنوان

صفحه

شکل ۳-۳- نمایش هندسه مورد استفاده در تحلیل توزیع جهتیابی مولکول‌های آب در طول شبیه‌سازی ...	۷۱
شکل ۴-۳- تغییرات جهتیابی یک مولکول آب نسبت به بردار شعاعی نانوچنبره در محل اکسیژن آن مولکول، در زمان‌های اولیه شبیه‌سازی سامانه‌ای مت Shank از ۱۲ مولکول آب در نانوچنبره (۰۱۵)	۷۲
شکل ۵-۳- مقدار متوسط مجموعه‌ای زاویه جهتیابی گشتاور دوقطبی مولکول‌های آب نسبت به بردار شعاع محلی در طول شبیه‌سازی جریان نفوذی ۱۲ مولکول آب در نانوچنبره (۰۱۵) در دماهای ۲۷۵، ۲۹۵ و ۳۰۵ کلوین	۷۳
شکل ۶-۳- مقدار لحظه‌ای MSD سه مختصه x، y و Z و اندازه بردار r برای اتم‌های اکسیژن در دمای ۲۷۵ کلوین در نانوچنبره (۰۱۵) که تمام اتم‌های کربن آن بی حرکت نگه داشته شده‌اند	۷۴
شکل ۷-۳- مقدار لحظه‌ای MSD سه مختصه x، y و Z و اندازه بردار r برای اتم‌های اکسیژن در دمای ۲۹۵ کلوین در نانوچنبره (۰۱۵) که تمام اتم‌های کربن آن بی حرکت نگه داشته شده‌اند	۷۴
شکل ۸-۳- مقدار لحظه‌ای MSD سه مختصه x، y و Z و اندازه بردار r برای اتم‌های اکسیژن در دمای ۳۰۵ کلوین در نانوچنبره (۰۱۵) که تمام اتم‌های کربن آن بی حرکت نگه داشته شده‌اند	۷۵
شکل ۹-۳- مقدار لحظه‌ای MSD چند مرجعی سه مختصه x، y و Z برای اتم‌های اکسیژن در طول شبیه‌سازی دینامیک مولکولی بر روی نانوچنبره (۰۱۳) که اتم‌های موجود بر روی چند لایه درونی آن بی حرکت نگه داشته شده‌اند	۷۷
شکل ۱۰-۳- مقدار لحظه‌ای MSD چند مرجعی سه مختصه x، y و Z برای اتم‌های اکسیژن در طول شبیه‌سازی دینامیک مولکولی بر روی نانوچنبره (۰۱۴) که اتم‌های موجود بر روی چند لایه درونی آن بی حرکت نگه داشته شده‌اند	۷۸
شکل ۱۱-۳- مقدار لحظه‌ای MSD چند مرجعی سه مختصه x، y و Z برای اتم‌های اکسیژن در طول شبیه‌سازی دینامیک مولکولی بر روی نانوچنبره (۰۱۵) که اتم‌های موجود بر روی چند لایه درونی آن بی حرکت نگه داشته شده‌اند	۷۸

فهرست جداول‌ها

صفحه	عنوان
	جدول ۱-۱- جمله‌های انرژی در میدان‌های نیرو ۱۷
	جدول ۱-۲- مقادیر شعاع نanolوله‌های مختلف حاصل از مطالعات آزمایشگاهی TEM و برنامه فرترن ۴۹
	جدول ۲-۲- ثابت‌های پتانسیل ترساف مطابق با مرجع ۶۴ و مقادیر اصلاح شده A و B استفاده شده در این پژوهش که داخل قلاب نوشته شده است ۵۹
	جدول ۳-۲- مقدار میانگین شاخص انحنای اتم‌های کربن در Nanolوله‌ها و Nanوچنبره‌های مطالعه شده در این پژوهش ۶۲
	جدول ۳-۱- ضریب نفوذ مولکول‌های آب در Nanوچنبره‌های مختلف ۷۹

فصل اول

مقدمه و مبانی نظری

طبق گزارش وبگاه علوم، از سال ۱۹۹۱ تا ۲۰۰۷ بیش از ۳۰۰۰۰ مقاله در زمینه نانولوله‌های کربنی منتشر شده است. این محبوبیت به علت خواص منحصر به فرد الکترونی، ساختاری، مکانیکی و پیوندی نانولوله‌هاست. که آنها را به ابزار مناسبی در زمینه‌های مختلفی مثل حسگرهای مولکولی، نانوالکترونیک و انتقال دارو تبدیل کرده است. مطالعات آزمایشگاهی نشان می‌دهد نانولوله‌های کربنی می‌توانند با حمل مواد مختلف از درون غشاهای سلولی به عنوان ناقلان مولکولی عمل کنند. این کاربردها مربوط به توانایی نانولوله در انتقال یک سیال و بخصوص محلول‌های آبی در مقیاس نانو می‌باشد. به همین دلیل، مطالعه سامانه‌های آب-نانولوله در علم نانوفناوری همواره از اهمیت زیادی برخوردار بوده است. از این رو استفاده از مدل‌های ریاضی که برای توصیف شار یک سیال، به بخصوص آب، درون نانولوله مورد استفاده قرار می‌گیرند، در سال‌های اخیر افزایش یافته است. در نانوچنبره‌ها، علاوه بر انحنای موجود در نانولوله‌ها، یک انحنای دیگر نیز وجود دارد که مربوط به نحوه پیچش نانولوله برای تشکیل نانوچنبره است. بنابراین، به نظر می‌رسد رفتار جریان مولکولی در نانوچنبره‌ها با رفتار جریان مولکولی در نانولوله‌ها متفاوت باشد. در این پژوهش، رفتار جریان نفوذی مولکولهای آب در یک نانوچنبره ساخته شده از نانولوله کربنی نوع زیگزاگ با استفاده از شبیه‌سازی دینامیک مولکولی بررسی می‌شود.

۱-۱ نانولوله‌های کربنی

اولین گزارش از رشته‌های کربنی در سال ۱۸۸۹ در برگه ثبت اختراعی که استفاده از چنین رشته‌هایی را در لامپ‌های نورانی پیشنهاد می‌کرد، عنوان شده است [۱]. بعد از آن به وجود رشته‌های کربنی در دو مقاله دیگر اشاره شد، اما به دلیل آنکه میکروسکوپ‌های در دسترس قدرت تفکیک بالایی نداشتند، شواهد کافی برای لوله‌ای بودن این رشته‌ها ارائه نشد [۲ و ۳]. در سال ۱۹۵۲ رادوشکوویچ و لوکانوفیچ اولین تصاویر بدست آمده از میکروسکوپ الکترونی عبوری^۱ از این رشته‌ها را در مجله شیمی فیزیک روسیه به چاپ رساندند [۴]. این تصاویر ساختار میان‌تهی رشته‌های کربنی را نشان می‌دادند. اما به علت جنگ سرد، در آن زمان، کار این دو دانشمند روسی به دنیای پژوهش غرب وارد نشد و در سال ۱۹۹۱ نانولوله‌های کربنی توسط /یچجیما/ دوباره کشف شد [۵] و بلافضله مورد توجه دانشمندان قرار گرفت. امروزه اغلب مقالات و متون علمی کشف نانولوله را به /یچجیما/ نسبت داده‌اند.

نانولوله‌های کربنی تک دیواره^۲ لوله‌ایی کربنی با قطر نانومتری هستند که از لوله‌شدن یک صفحه گرافیتی به وجود می‌آیند. در اینصورت، لوله یکپارچه‌ای تولید می‌شود که مکان‌های هم‌ارز در شبکه شش‌گوشی گرافیت بر هم منطبق می‌شوند. در شکل (۱-۱) صفحه گرافیتی باز (لوله‌نشده) که سلول واحد یک نانولوله کربنی را به وجود می‌آورد و شامل دو بردار عمود برهم بردار کایرال C_h و بردار انتقال T می‌باشد، نشان داده شده است. بردار کایرال به وسیله دو عدد شاخص n و m مشخص می‌شود. این شاخص‌ها اعداد صحیحی هستند که بردار کایرال را به صورت معادله زیر با بردارهای واحد شبکه شش‌گوشی گرافیت، یعنی a_1 و a_2 مرتبط می‌سازند:

$$C_h = na_1 + ma_2 \equiv (n, m) \quad (1-1)$$

یک نانولوله کربنی با این دو عدد که بیانگر تعداد تکرار بردارهای واحد a_1 و a_2 برای ساخت نانولوله هستند، شناخته می‌شود. در نانولوله‌های زیگزاگ^۳، $m=0$ است و بردار کایرال در راستای لبه‌های زیگزاگ شش‌ضلعی ها (در راستای بردار a_1) قرار می‌گیرد (شکل ۱-۱). Φ زاویه بین بردار کایرال و بردار واحد a_1 است که در نانولوله‌های زیگزاگ برابر صفر است. اگر $m = n$ یا به عبارت دیگر $30^\circ = \Phi$ باشد، بردار کایرال در راستای قطر شش‌ضلعی‌ها قرار گرفته و نانولوله صندلی^۴ تشکیل می‌شود. هر مقدار دیگری برای n و m که متناظر با

^۱ Transmission Electron Microscopy(TEM)

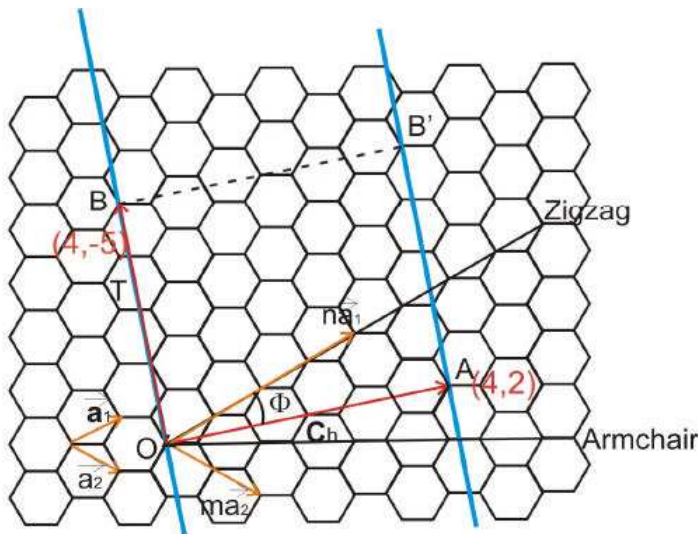
^۲ Single Walled Carbon Nanotube

^۳ Zigzag

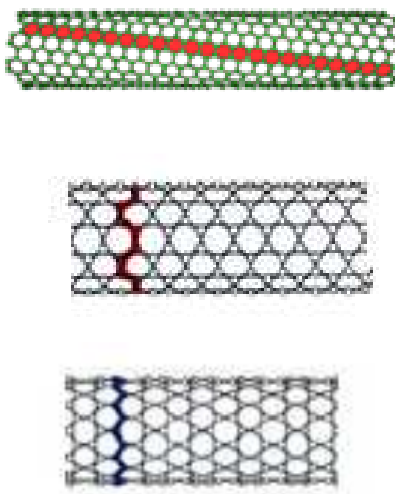
^۴ Armchair

$\Phi < 0$ است، منجر به تولید نانولوله کایرال^۱ می‌شود. مثالی از انواع نانولوله‌ها در شکل (۲-۱) نمایش

داده شده است.



شکل ۱-۱: صفحه گرافیتی تاوشده که برای ساخت نانولوله مورد استفاده قرار می‌گیرد.^۱ سلول واحد را نشان می‌دهد. C_h بردار کایرال و T بردار انتقال است. Φ به عنوان زاویه بین بردار کایرال و بردار واحد a_1 تعریف می‌شود. این شکل ناتولوله (۲ و ۴) را نشان می‌دهد



شکل ۱-۲: طبقه‌بندی نانولوله‌های کربنی تکدیواره: (از بالا به پایین) کایرال، صندلی، زیگزاگ.

^۱Chiral

زاویه کایرال، Φ ، و قطر نانولوله، d_h ، از روابط زیر به دست می‌آیند:

$$\cos \Phi = \frac{\mathbf{C}_h \cdot \mathbf{a}_1}{|\mathbf{C}_h| |\mathbf{a}_1|} = \frac{2n + m}{2\sqrt{n^2 + m^2 + nm}} \quad (2-1)$$

$$d_h = \frac{L}{\pi} ; \quad L = |\mathbf{C}_h| = \sqrt{\mathbf{C}_h \cdot \mathbf{C}_h} = a \sqrt{n^2 + m^2 + nm} \quad (3-1)$$

در این معادله a اندازه بردار \mathbf{a}_1 می‌باشد. از معادلات (2-1) و (3-1) درمی‌یابیم که قطر و کایرالیته یک نانولوله کربنی با بردار کایرال و بوسیله شاخص‌های n و m مشخص می‌شود. برای تکمیل تعریف یک نانولوله کربنی لازم است بردار \mathbf{T} تعریف شود. بردار سلول واحد نانولوله کربنی در راستای محور نانولوله است و بردار کایرال عمود است. بردار \mathbf{T} بوسیله اعداد t_1 و t_2 با بردارهای سلول واحد شبکه هگزاگونالی به صورت زیر مربوط می‌شود:

$$\mathbf{T} = t_1 \mathbf{a}_1 + t_2 \mathbf{a}_2 \equiv (t_1, t_2) \quad (4-1)$$

از معادله (1-1) و (4-1) و نیز با استفاده از شرط متعامد بودن بردارهای \mathbf{T} و \mathbf{C}_h عبارات زیر برای t_1 و t_2 بدست می‌آید:

$$t_1 = \frac{2m+n}{d_R}, \quad t_2 = -\frac{2n+m}{d_R} \quad (5-1)$$

که d_R بزرگترین مقسوم‌علیه مشترک بین ($2m+n$ ، $2n+m$ ، $2m+n$) است. طول بردار انتقال از رابطه زیر بدست می‌آید [۶]:

$$T = |\mathbf{T}| = \sqrt{\mathbf{T} \cdot \mathbf{T}} = a \sqrt{t_1^2 + t_2^2 + t_1 t_2} = \frac{\sqrt{3} L}{d_R} \quad (6-1)$$

۲-۱ روش‌های ساخت آزمایشگاهی نانولوله‌های کربن

روش‌های متعددی برای ساخت نانولوله‌های کربنی وجود دارد که سازوکار همه آن‌ها بر مبنای مراحل زیر می‌باشد

الف- کربن جامد (گرافیت) به بخار تبدیل می‌شود.

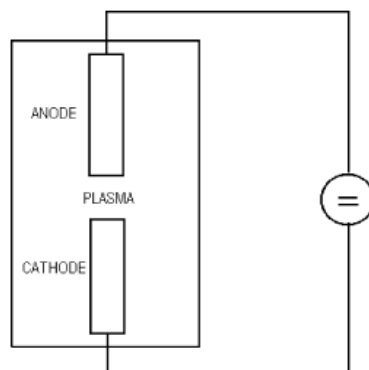
ب- اتمهای کربن فعال با کاتالیزورهایی مانند کبات، آهن و نیکل برای تشکیل کاربید موردنظر واکنش می‌دهد.

ج- هنگامی که غلظت کربن به نقطه اشباع رسید، ساختار پایدار ترمودینامیکی یعنی نانولوله‌های کربنی در اطراف کاتالیزور تشکیل می‌شوند.

با مدیریت زمان رشد، نانولوله کربنی با طولهای مختلف ساخته می‌شود. بسته به نوع منبع انرژی برای تبخیر کربن، روش‌های ساخت نانولوله به سه روش: تخلیه قوس الکتریکی^۱، تابش لیزر^۲ و نشست بخار شیمیایی^۳ طبقه‌بندی می‌شوند.

۱-۲-۱ تولید نانولوله‌های کربنی به روش تخلیه قوس الکتریکی

قوس الکتریکی انرژی کافی برای تفکیک و حتی تبخیر گرافیت را ایجاد می‌کند. تولید با استفاده از قوس الکتریکی ابتدا توسط اینجیما در سال ۱۹۹۱ مورد استفاده قرار گرفت. طرحی از دستگاه مورد استفاده در این روش در شکل (۳-۱) نشان داده شده است.



شکل ۳-۱: طرحی از روش تخلیه قوس الکتریکی برای تولید نانولوله‌های کربنی

در این روش از الکترودهای کربنی که به فاصله ۱ mm از یکدیگر در جوی از هلیوم قرار گرفته‌اند، استفاده می‌شود. شدت جریان در قوس الکتریکی ۱۰۰ آمپر است و ولتاژ بین ۱۰ تا ۳۵ ولت تنظیم می‌شود. سرعت رشد کاتد تقریباً ۱ mm/min است. مقداری از بخار گرافیت (تبخیر شده از آند) به کربن سیاه تبدیل می‌شود و بر روی دیواره‌های ظرف واکنش و باقیمانده آن بر روی کاتد می‌نشیند. لایه جامد پیروزی تهشیش شده بر روی کاتد شامل نانولوله و نانوذراتی است که قابل جداسازی نیستند. خلوص و بازده نانولوله کربنی به فشار گاز هلیوم بستگی دارد. فشار بھینه ۶۷ پاسکال است. به منظور افزایش خلوص و بازده تولید نانولوله می‌توان از کاتالیزور در انتهای

^۱ Arc Discharge

^۲ Laser Ablation

^۳ Chemical Vapor Deposition(CVD)